

FW-079

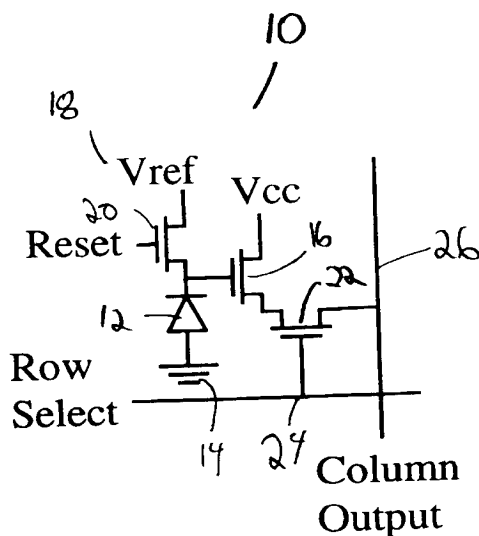


FIG. 1A

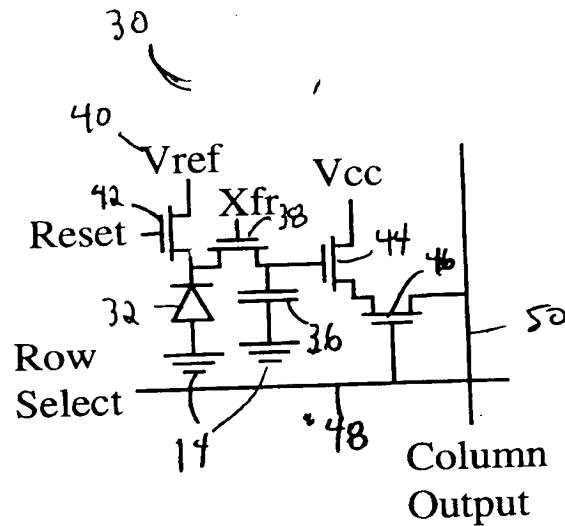


FIG. 1B

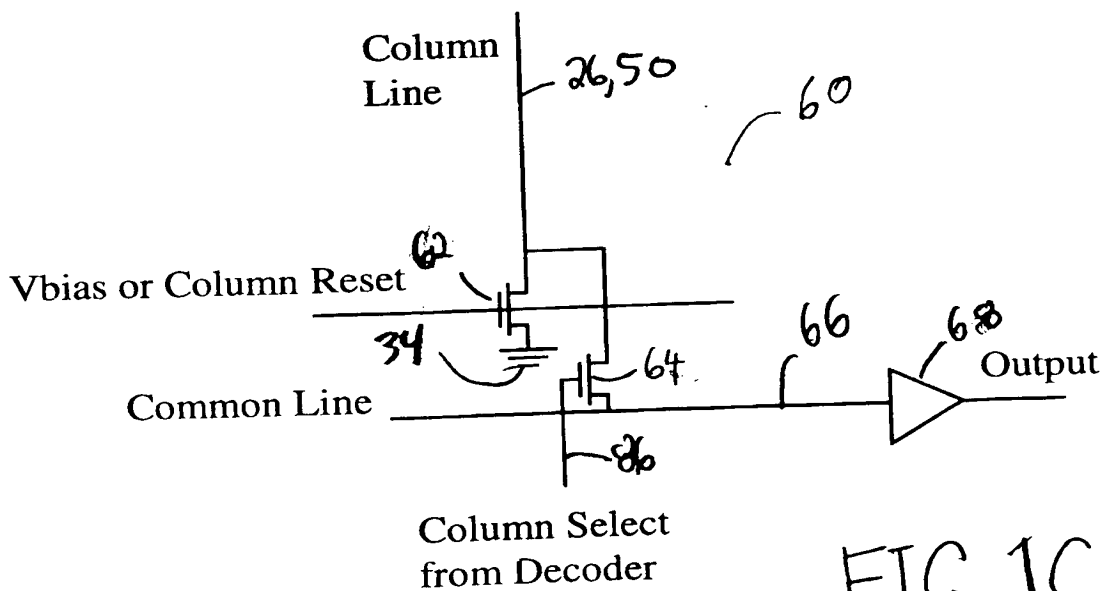


FIG. 1C

FOV-079

100-04428-1 2000

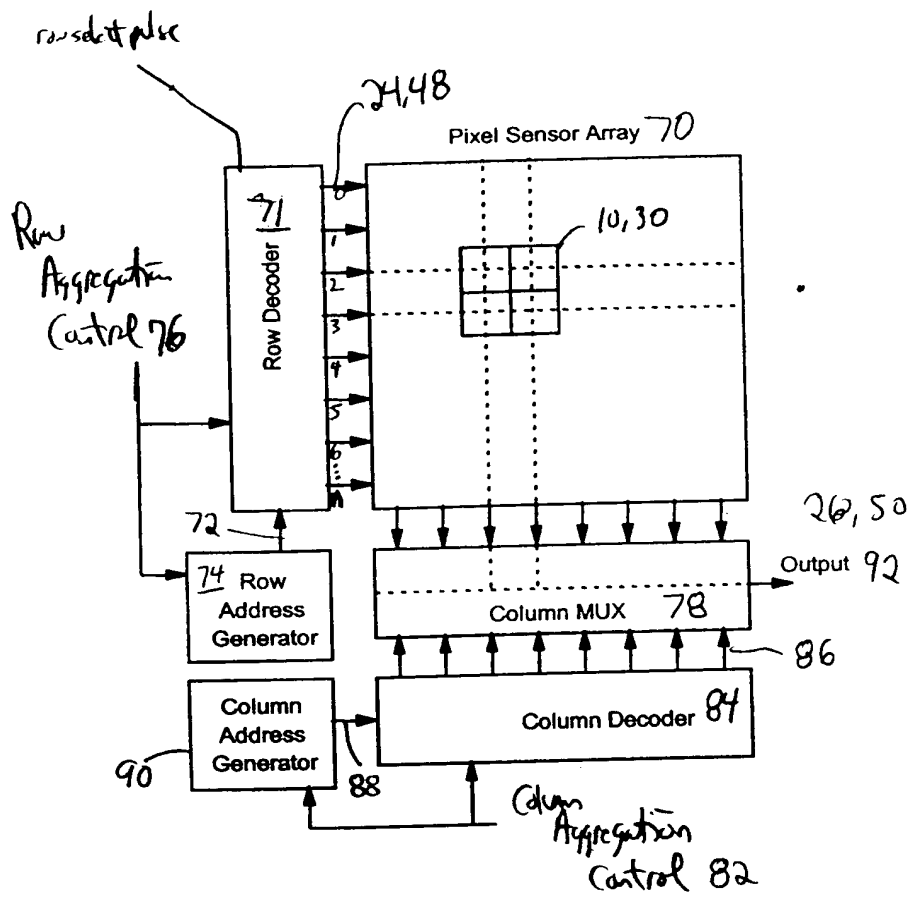


FIG. 2A

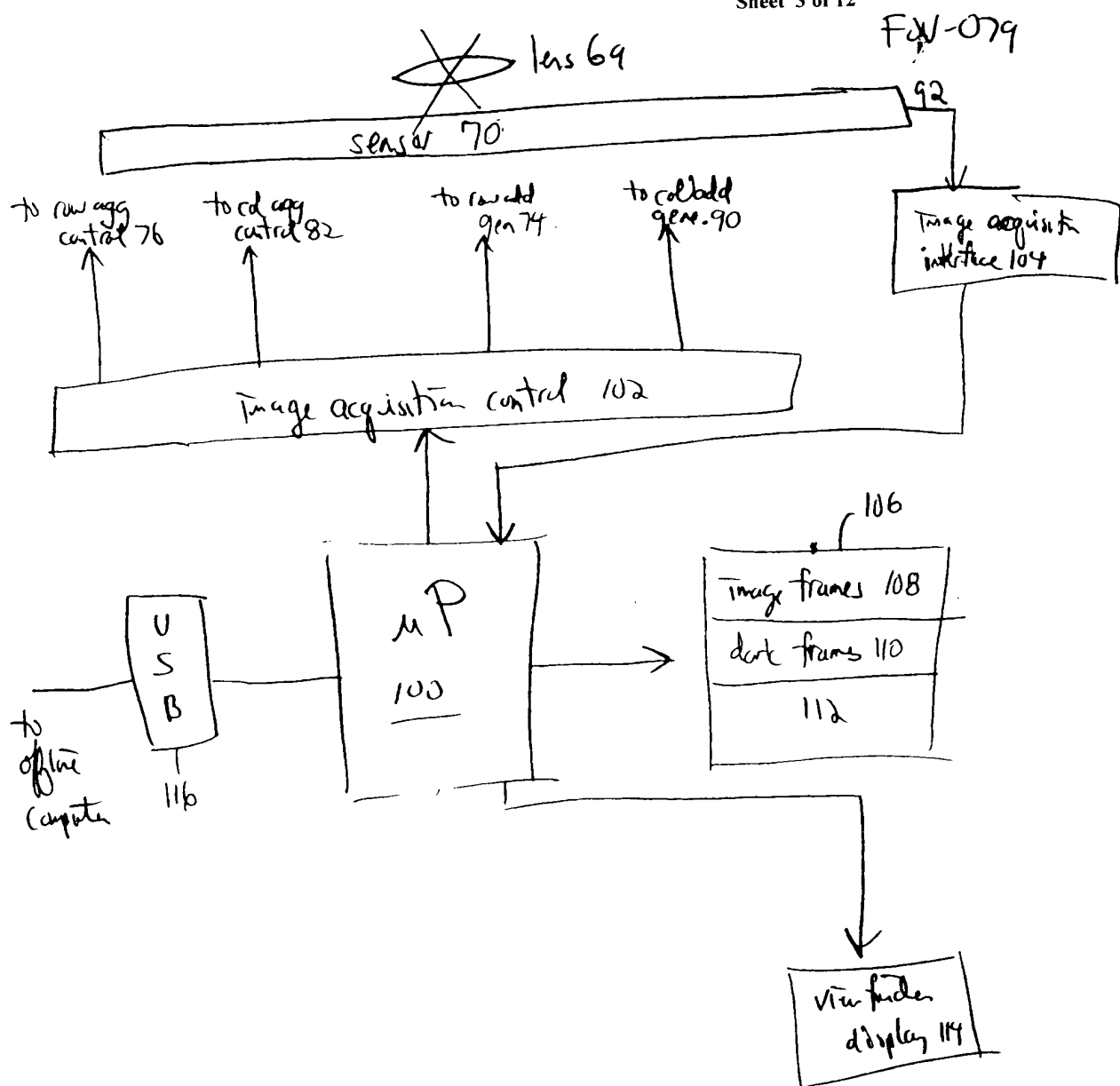


FIG. 2B

FOV-079

Input from pixel array

10001438-14220

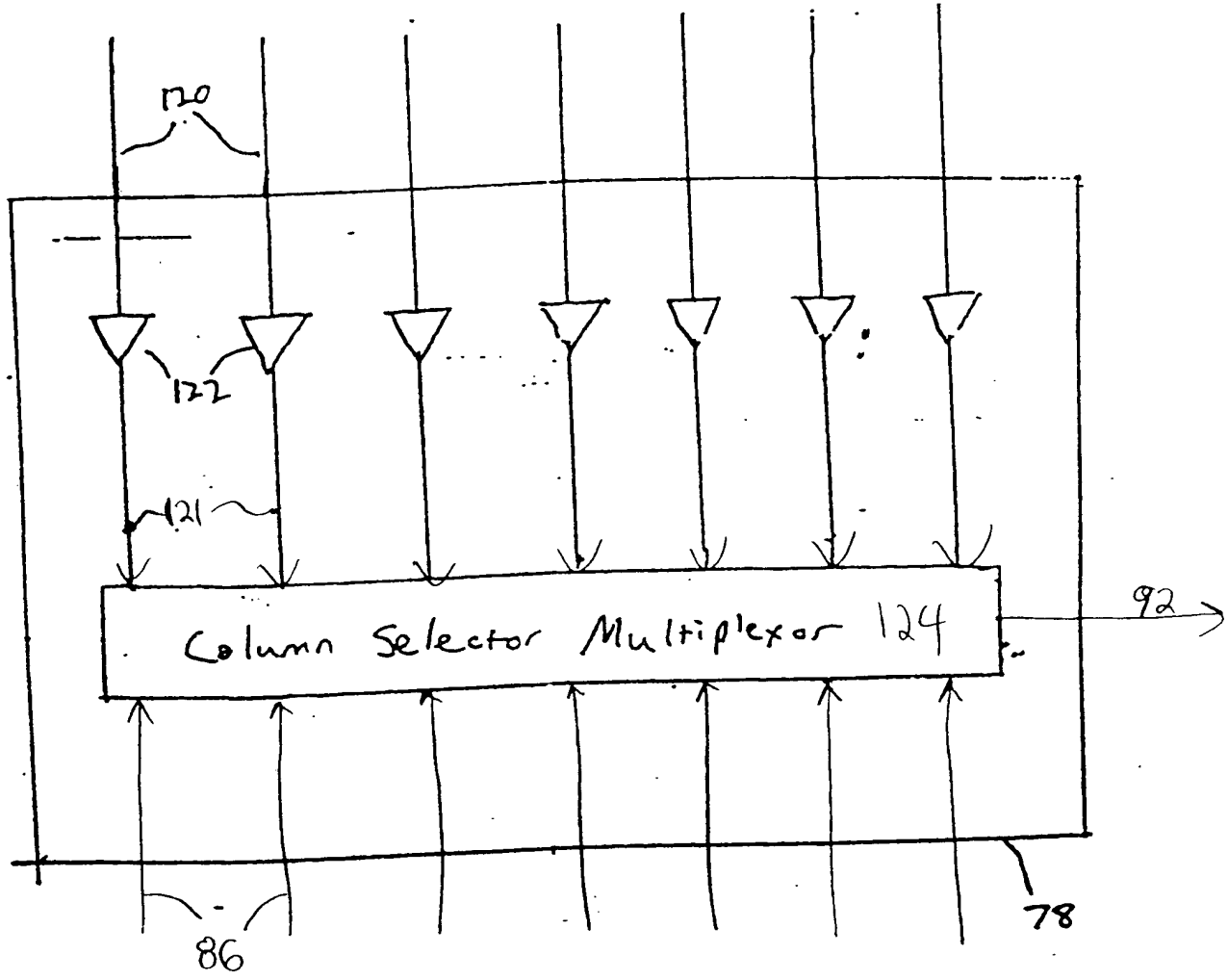


FIG. 3A

FUV-079

Input from pixel array

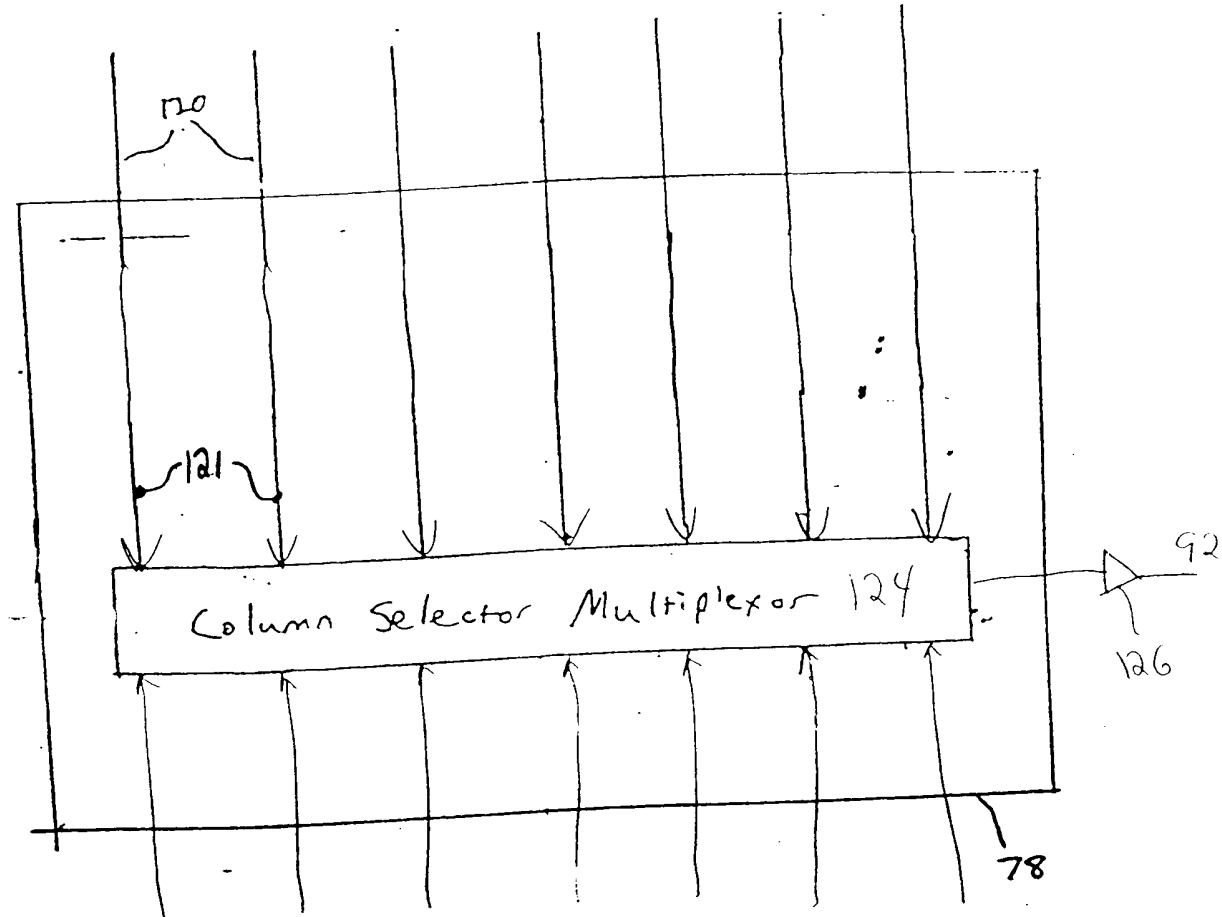


FIG. 3B

1000014438 * 10240101

FUV-079

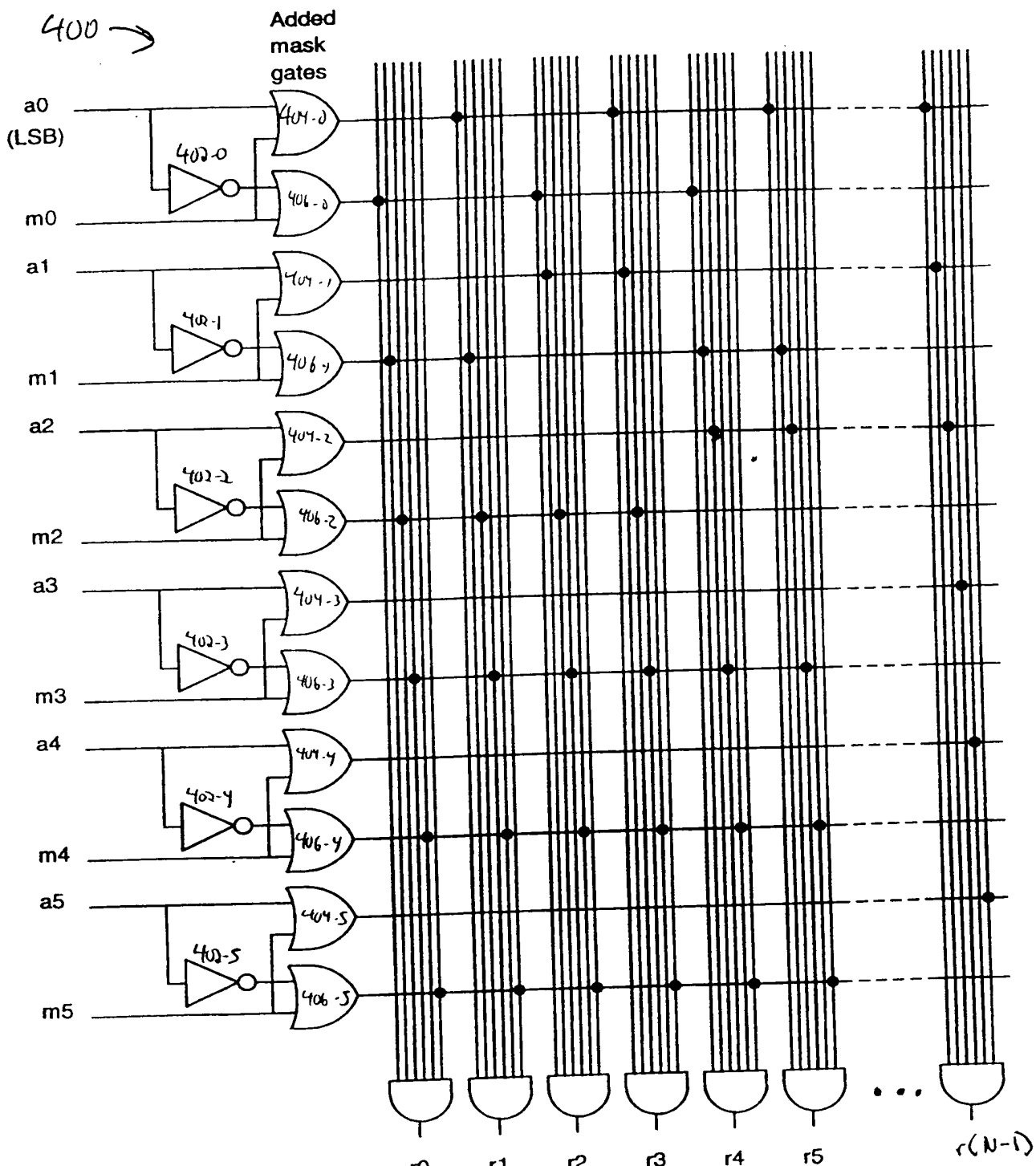
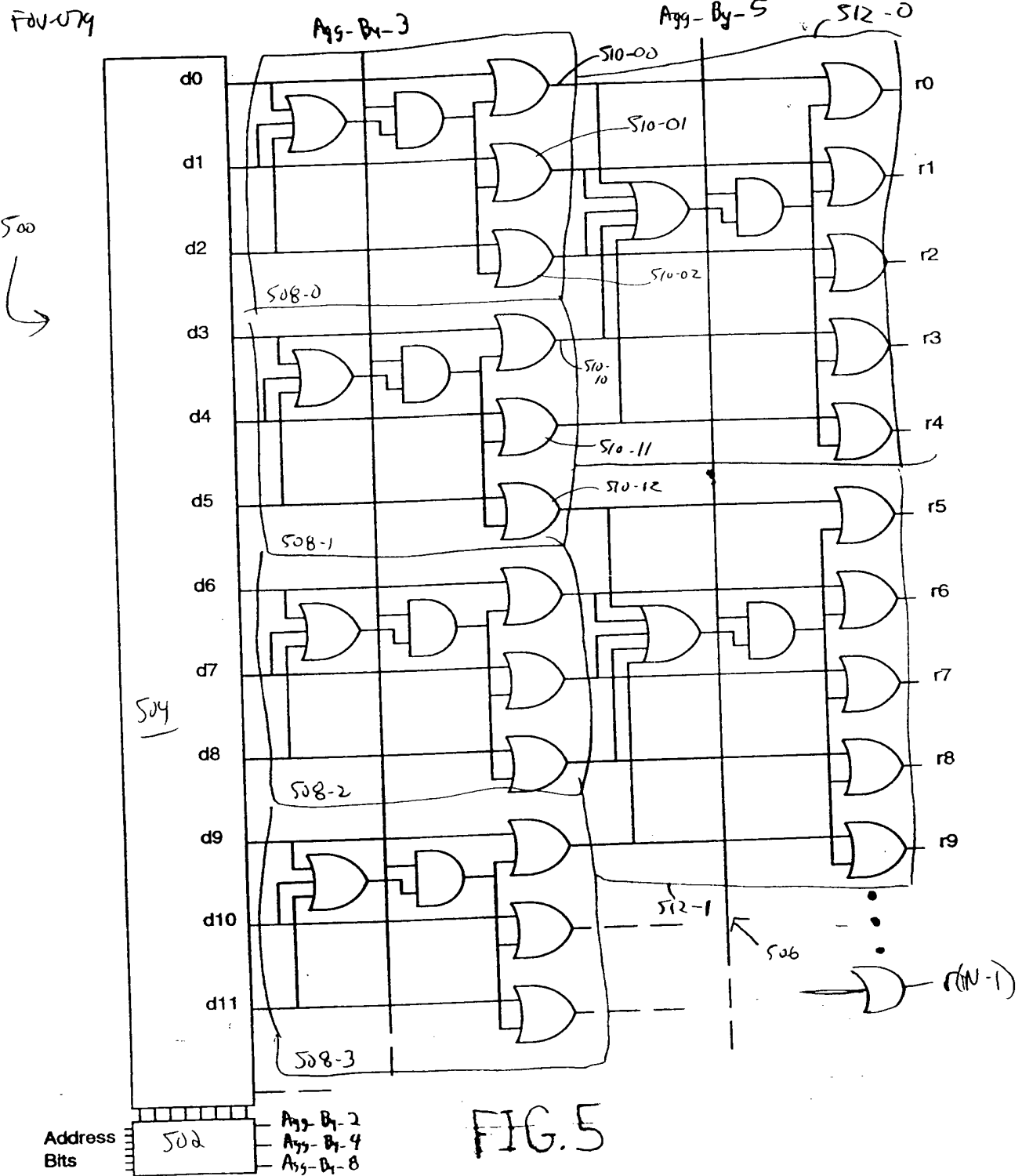


FIG. 4

10001438 104201



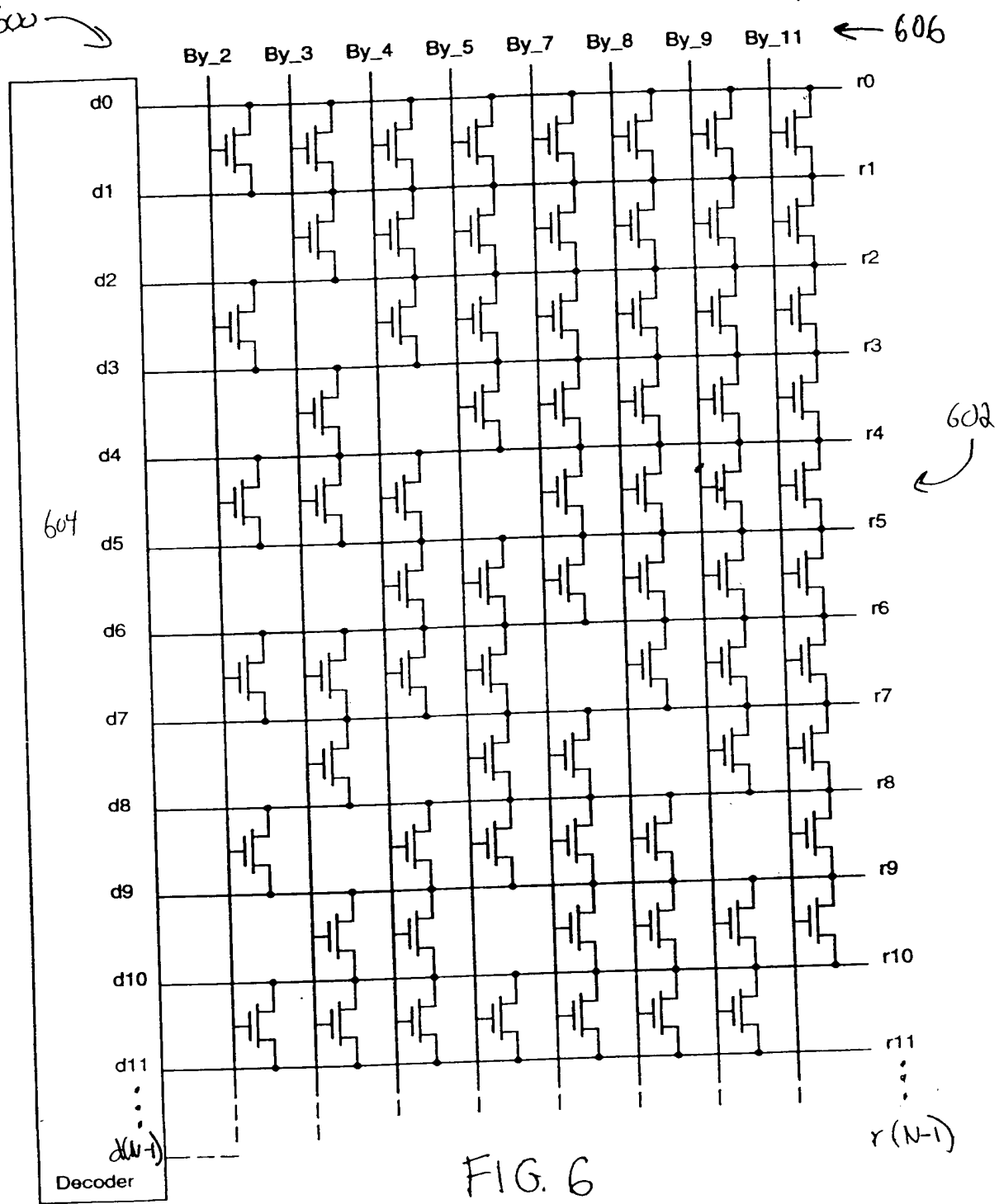


FIG. 6

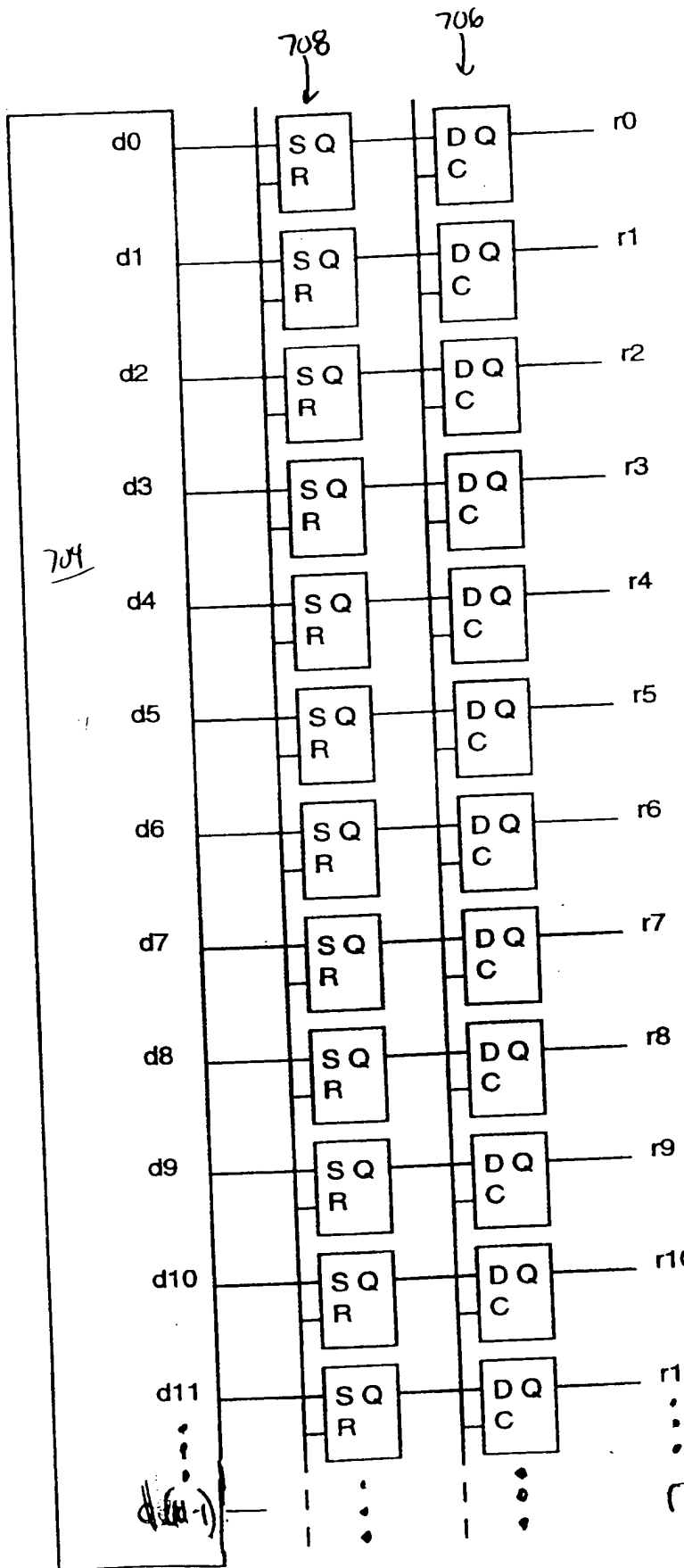
1000143304 884204 104204

FIG-079

700

FIG. 7

702



10001436 102403

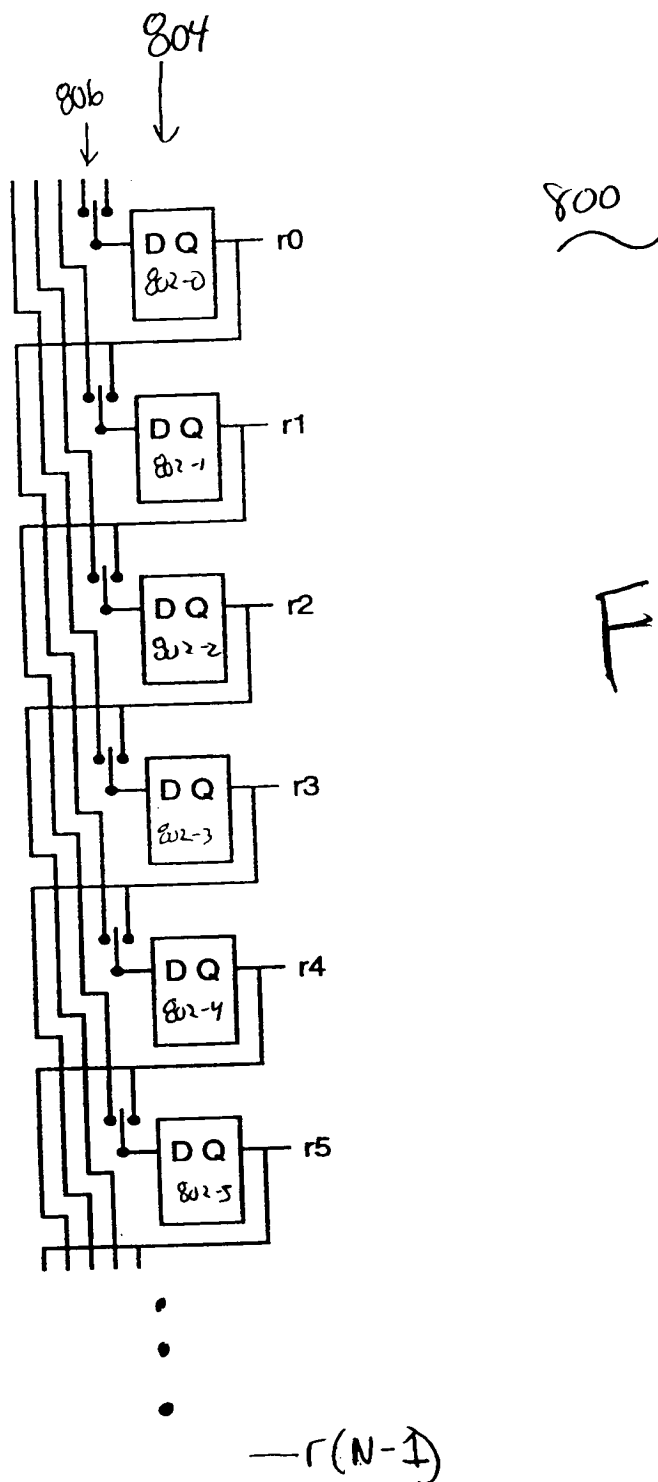


FIG. 8

FN-079

10003438-102420

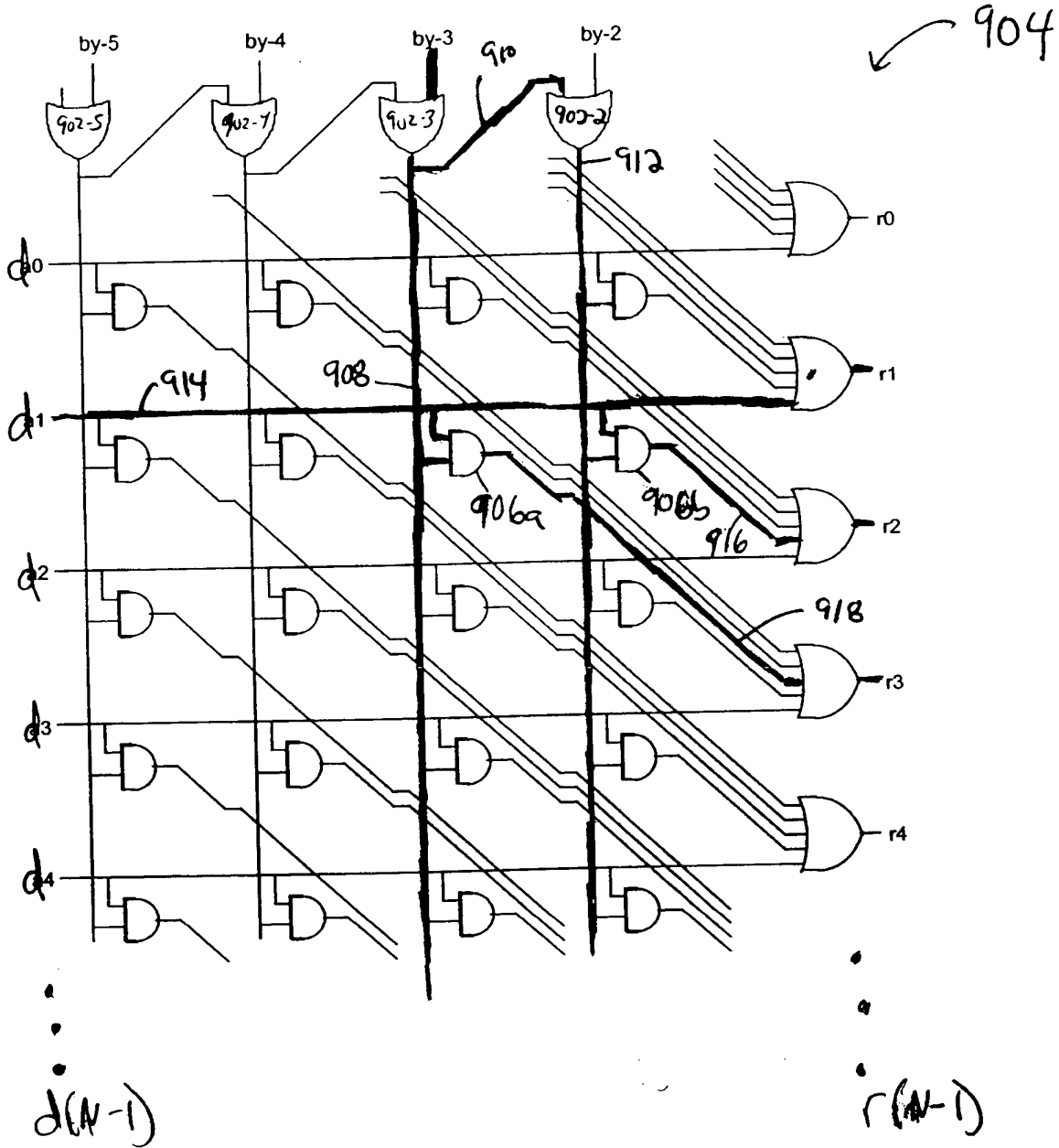


FIG. 9

	0	2					
0	Gr	R	Gr	R	Gr	R	
	B	Gb	B	Gb	B	Gb	
2	Gr	R	Gr	R	Gr	R	
	B	Gb	B	Gb	B	Gb	
	Gr	R	Gr	R	Gr	R	
	B	Gb	B	Gb	B	Gb	

FIG. 10A

	0	1		4	5		
0	Gr	R		Gr	R		
1	B	Gb		B	Gb		
4	Gr	R		Gr	R		
5	B	Gb		B	Gb		

FIG. 10B